

I-5 走行ランダム荷重による橋梁の動的応答

九州大学 正員 彦坂 照
 学生員 江村 康博
 ○綿島 弘之

まえがき

走行荷重による橋梁の動的応答に関しては、衝撃係数を定量的に求められため、古くから多くの理論的実験的研究がなされていながら、従来の研究のほとんどが路面は完全に滑らかと仮定して荷重及び構造物の動的特性とともに確定量のみなし、種々な走行条件に対して動的応答をシミュレーションしてきた。しかし、実際に道路橋に及ぼす荷重は非再現性を有する不規則外力と考えられ、動的応答を確率過程として解析することが必要である。

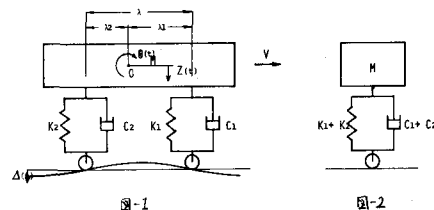
道路橋の走行荷重応答解析に不規則振動論を用いたものとして、山田・小堀²⁾及びL.Frybaの2つの先駆的研究が見られるが、前者は荷重列の載荷位置を固定して速度の影響を考慮せず、また後者は荷重を白色雑音と仮定し、路面の凹凸や車両の周波数特性は考慮されていない。本論文では、路面の凹凸のパワースペクトルと車両の周波数特性をともに考慮した解析モデルにより橋梁の動的応答を非定常確率過程として解析した。

荷重モデル及び接地力の自己相関係数

自動車を図-1のように2自由度振動系にモデル化し、期得值零の路面上を一定速度Vで走行している時、重心の鉛直変位Zと回転変位θに関する運動方程式は次のように表される。

$$\left\{ \begin{array}{l} M\ddot{Z} + k_1(Z - \lambda_1\theta) + k_2(Z + \lambda_2\theta) + C_1(\dot{Z} - \lambda_1\dot{\theta}) + C_2(\dot{Z} + \lambda_2\dot{\theta}) \\ = k_1\Delta_1 + k_2\Delta_2 + C_1\dot{\Delta}_1 + C_2\dot{\Delta}_2 \end{array} \right. \quad (1-a)$$

$$\left. \begin{array}{l} M\ddot{\theta} - \lambda_1k_1(Z - \lambda_1\theta) + \lambda_2k_2(Z + \lambda_2\theta) - \lambda_1C_1(\dot{Z} - \lambda_1\dot{\theta}) + \lambda_2C_2(\dot{Z} + \lambda_2\dot{\theta}) \\ = -\lambda_1k_1\Delta_1 + \lambda_2k_2\Delta_2 - \lambda_1C_1\dot{\Delta}_1 + \lambda_2C_2\dot{\Delta}_2 \end{array} \right. \quad (1-b)$$



ここで、 Δ_1, Δ_2 は各々前輪及び後輪位置での路面凹凸である。また時刻tにおいて $\Delta_1 \approx \Delta_2$ の間には $\Delta_2(t) = \Delta_1(t - \lambda/V)$ なる関係が成り立つので、 Δ_1 で代表したZとθの周波数応答関数 $H_Z(iw), H_\theta(iw)$ が求まる。簡単のためθを無視し、橋梁の動的応答に大きな影響を及ぼすと考えられる $H_Z(iw)$ のみを求める式を次式で表せり。

$$|H_Z(iw)|^2 = \frac{-w_1'' + w_2'' + 4(\lambda_1w_1^2 + \lambda_2w_2^2)w^2 + 4w_1w_2(w_1\lambda_1 - w_2\lambda_2)w \sin w\tau_0 + 2w_1w_2(w_1w_2 + 4\lambda_1\lambda_2w^2) \cos w\tau_0}{\{(w_1^2 + w_2^2) - w^2\}^2 + \{z(\lambda_1w_1 + \lambda_2w_2)w\}^2} \quad (2)$$

上式において車軸間隔 $\lambda = 0$ とすれば、 $\tau_0 = \lambda/V = 0$ となり図-2の1自由度の周波数応答関数が得られる。

$$|H_Z(iw)|^2 = \frac{w_0'' + (2\lambda_0w_0w)^2}{(w_0^2 - w^2)^2 + (2\lambda_0w_0w)^2} \quad \text{ここに } w_0 = \sqrt{k_1/M}, \quad w_1 = \sqrt{k_1/k_2}, \quad w_2 = \sqrt{(k_1 + k_2)/M} = \sqrt{w_1^2 + w_2^2}$$

$$\lambda_1 = C_1/2\sqrt{k_1M}, \quad \lambda_2 = C_2/2\sqrt{k_2M}, \quad \lambda_0 = (C_1 + C_2)/2\sqrt{(k_1 + k_2)M} = (\lambda_1w_1 + \lambda_2w_2)/w_0$$

ところで、路面凹凸のスペクトルは、従来の測定結果からむねは次式で表せりことが知られている。

$$S_\Delta(\Omega) = 4/\Omega^2 \quad \text{ここに } \Omega \text{ は路面周波数(路面単位長さ当たりの凹凸周波数), } \Omega \text{ は路面の良否により異なり定数} \quad (3)$$

また、速度Vで走行する自動車の入力のスペクトルは、 $w = 2\pi V \Omega$ なる関係があるので次式で表せり。

$$S_\Delta(w) = 4\pi^2 V \Omega / w^2 \quad (4)$$

上記のZの周波数応答関数と路面凹凸のパワースペクトルより、鉛直変位の加速度Zのパワースペクトルが求まる。

$$S_{\ddot{Z}}(w) = w^4 |H_Z(iw)|^2 \cdot S_\Delta(w) \quad (5)$$

Sprung Massの接地圧は $P(t) = P_0(1 - z/t)$ と表わされ、またWiener-Khinchineの関係より接地圧P(t)の自己相関係数 $R_P(\Delta_1, \Delta_2)$ は次式にて表わせられる。

$$R_P(\Delta_1, \Delta_2) = (P_0/g) \int_{-\infty}^{\infty} S_{\ddot{Z}}(w) e^{i\omega(\Delta_1 - \Delta_2)} dw \quad (6)$$

橋梁の動的応答解析

荷重 $P(t)$ が橋梁上を速度Vで走行する時、橋梁のn次の振動モードを $S_n(x)$ 、固有円振動数を w_n 、減衰定数を η_n

一般座標 $\phi_n(t)$ とすれば Modal Analysis により $\phi_n(t)$ に関する次の微分方程式が得られる。

$$\ddot{\phi}_n(t) + 2f_n w_n \dot{\phi}_n(t) + w_n^2 \phi_n(t) = S_n(Vt) P(t) / M_n \quad \text{ここで } M_n = \int_0^L p S_n^2(x) dx \quad p: \text{単位長さ当たりの質量}$$

但し、 $P(t)$ には橋梁のたわみの影響は考慮されていない。初期条件 $\dot{\phi}_n(0) = \phi_n(0) = 0$ を満す解は次式で与えられる。

$$\phi_n(t) = \frac{1}{M_n} \int_0^t A(t-\tau) S_n(V\tau) P(\tau) d\tau \quad \text{ここで } A(t) = e^{-A_n w_n t} \sin w_n t / w_n \quad w_n' = w_n \sqrt{1 - A_n^2} \quad \dots \dots (7)$$

$\phi_n(t)$ の期待値は $\bar{\phi}_n(t) = \frac{1}{M_n} \int_0^t A(t-\tau) S_n(V\tau) P_0 d\tau$ であるから、 $\phi_n(t)$ の自己相関係数は次式で表わされる。

$$R_{\phi_n}(t_1, t_2) = E[\{\phi_n(t_1) - \bar{\phi}_n(t_1)\}\{\phi_n(t_2) - \bar{\phi}_n(t_2)\}] = \left(\frac{1}{M_n}\right)^2 \int_0^{t_2} \int_0^{t_1} A(t_1 - \tau_1) A(t_2 - \tau_2) S_n(V\tau_1) S_n(V\tau_2) R_P(\tau_1, \tau_2) d\tau_1 d\tau_2 \quad \dots \dots (8)$$

$$\text{ここで } I_{n1}(w, t_1) = \int_0^{t_1} A(t_1 - \tau_1) e^{-iw\tau_1} S_n(V\tau_1) d\tau_1, \quad I_{n2}^*(w, t_2) = \int_0^{t_2} A(t_2 - \tau_2) e^{-iw\tau_2} S_n(V\tau_2) d\tau_2$$

動的たわみ $y(t, x)$ は $y(t, x) = \sum_{n=1}^{\infty} S_n(x) \phi_n(t)$ で与えられるので、動的たわみ $y(t, x)$ の自乗平均値 $R_y^2(t, x)$ は、

$$R_y^2(t, x) = E\left[\left(\sum_{n=1}^{\infty} S_n(x) \phi_n(t)\right) \{\phi_n(t) - \bar{\phi}_n(t)\}\{\phi_n(t) - \bar{\phi}_n(t)\}\right]$$

周知のように、単純桁橋では $m \neq n$ の項は $m = n$ の項に比べて極めて小さいので式の 2 乗の項のみとれば

$$R_y^2(t, x) = \sum_{n=1}^{\infty} S_n^2(x) R_{\phi_n}(t, t) \\ = \sum_{n=1}^{\infty} (S_n^2(x) \left(\frac{P_0}{M_n g}\right)^2 \frac{1}{2\pi} \int_{-\infty}^{\infty} |S_{n2}^*(w)| |I_{n1}(w, t)|^2 dw) \quad \dots \dots (9)$$

数値計算例

単純合成析橋及ブランガーブリッジを対象として、上記理論による数値計算を行なった。路面のパワースペクトル密度は、ここでは、 $A = 10^{-4} \text{ cm}^2/\text{m}$ を用いている。以下において、単純桁橋はスパン中点 $x = L/2$ の初答に注目しており、上式に沿って級数のオ1項のみを、ブランガーブリッジでは $x = L/4$ 点の初答を級数のオ3項まで取って自乗平均値 $R_y^2(t, x)$ を求めた。結果はすべて標準偏差の (t, x) を静的最大たわみ y_{st} で割った無次元量で表わしている。

図-3, 図-4 は単純桁橋に沿って、1 軸(図-2)荷重モデルを走行させた場合の結果であり、前者は自動車と橋梁の固有振動数比 f/f_0 をパラメーターとした場合の非定常たわみ初答の標準偏差を示したものである。これによると f/f_0 は初答に極めて大きな影響を及ぼし、 $f/f_0 = 1$ の近傍をピークとしていることがわかる。又、後者は荷重がスパン中点を通過する時刻にかかる標準偏差の走行速度による変化を示したものであり、 $V = 5 \text{ m/sec}$ の近傍をピークとして、その他の場合は単調に減少していく。図-5 は同様に 2 軸(図-1)荷重モデルを対象としたもので、車軸間隔が考慮されているため、パラメーターのわずかな変化により初答が複雑に変化している。図-6 はランガーブリッジ(子飼橋)に 1 軸荷重モデルを走行させた場合の固有周期による初答変化を示したもので、逆対称 1 次モードが非常に影響していることがわかる。

(参考文献)

1) 山田善一、小堀義雄；活荷重に対する道路橋の動的初答
土木学会論文集 No. 148 号 1967年12月

2) L. Fryba; Non-Stationary Vibrations of Bridges under Random Moving Load, Final Report of 8th IABSE Congress, New York 1968

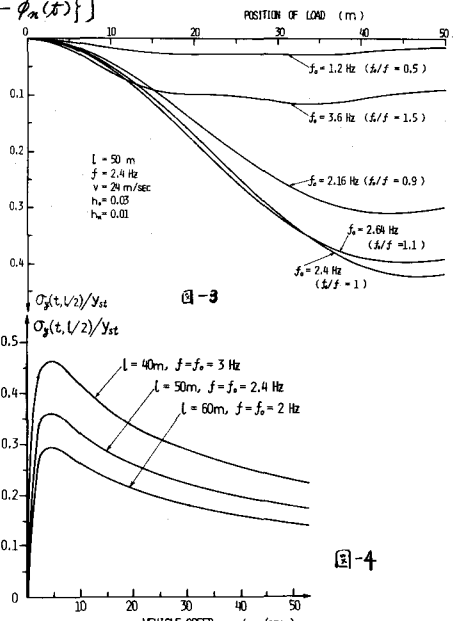


図-3

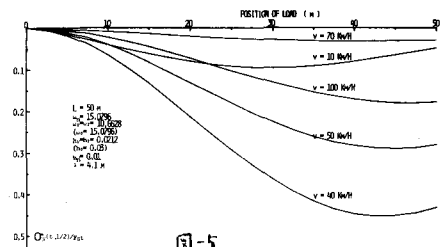


図-4

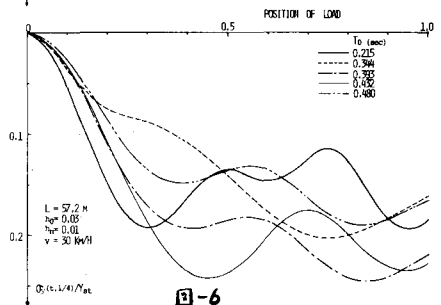


図-5